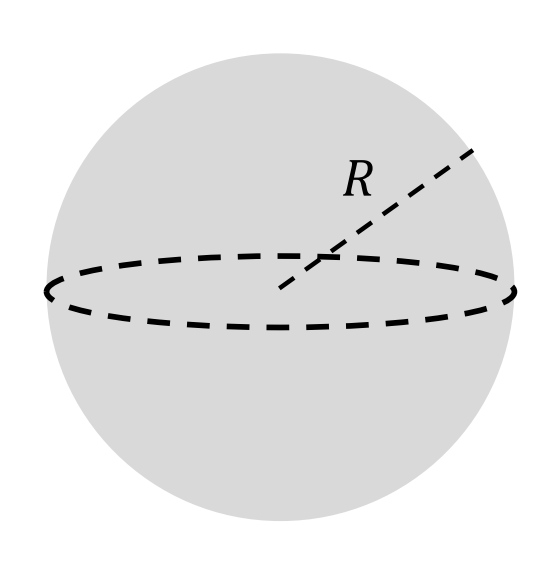
#### Ley de Gauss

Se verifica que en general, **para toda superficie cerrada** S que encierra un volumen V, El flujo del campo eléctrico  $\vec{E}$  a través de S es proporcional a la carga total encerrada



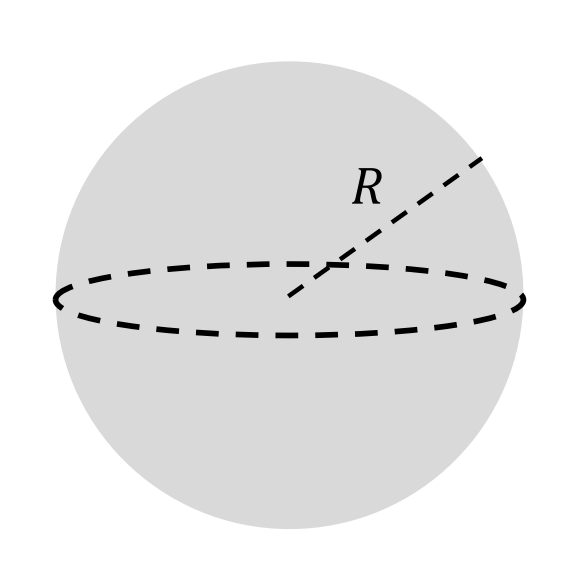
Carl Friederich Gauss (1777-1855)

$$\oint_{S} \mathbf{E} \cdot d\mathbf{a} = \frac{1}{\varepsilon_0} \sum_{i} q_i = \frac{1}{\varepsilon_0} \int_{V} \rho \ dv$$

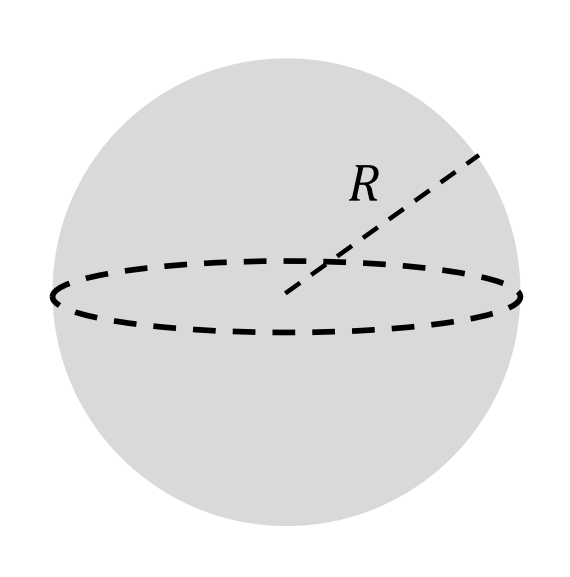


• Supongamos una distribución de carga  $\rho$  uniforme, de forma esférica de radio R.

 Calculemos el campo en todo el espacio aprovechando la Ley de Gauss y la simetría del sistema.

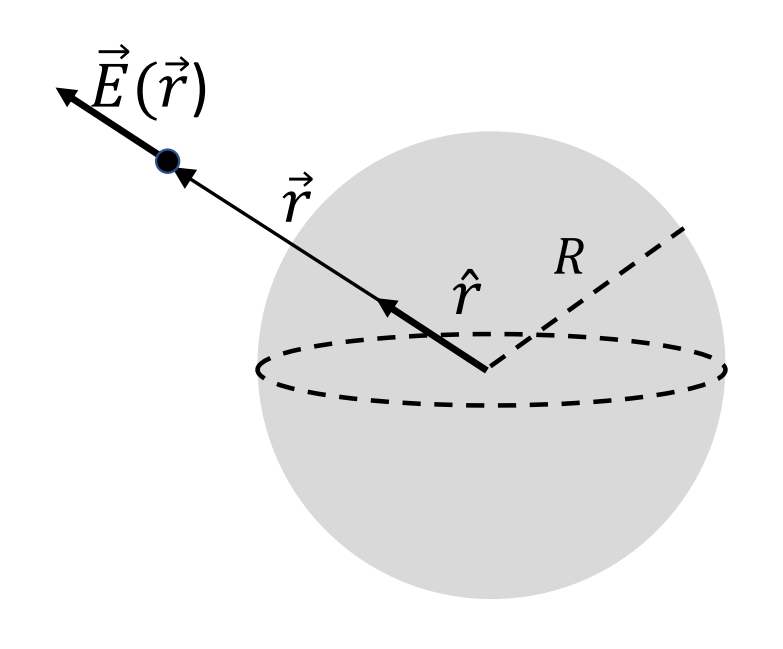


• Si colocamos nuestro SC en el centro de la esfera, el sistema tiene simetría esférica (rotar la carga alrededor del origen no cambia nada).



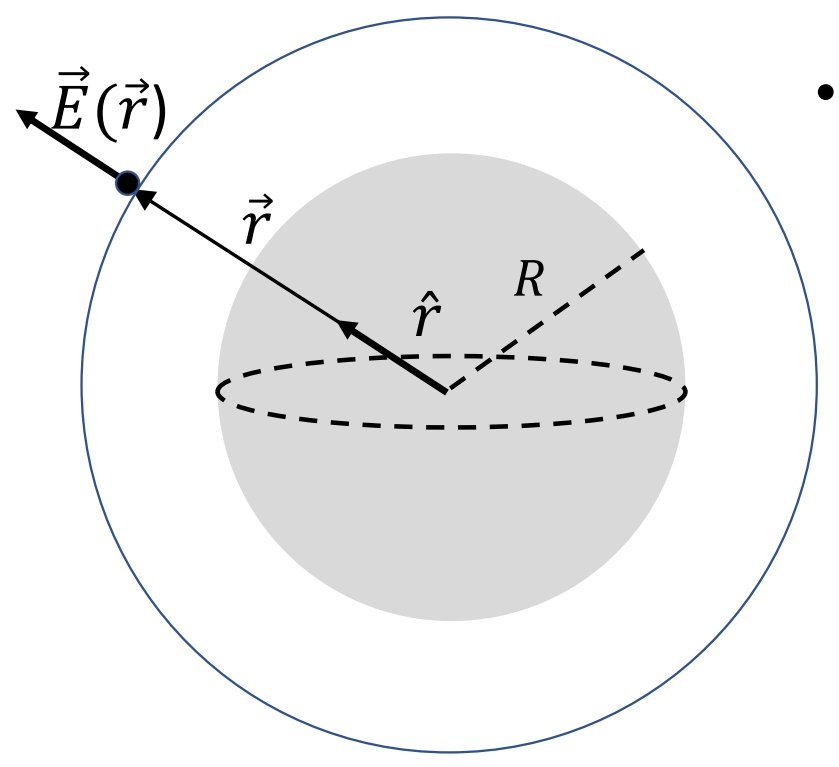
• Si colocamos nuestro SC en el centro de la esfera, el sistema tiene simetría esférica (rotar la carga alrededor del origen no cambia nada).

• El campo debe ser radial y depender sólo de la distancia r.

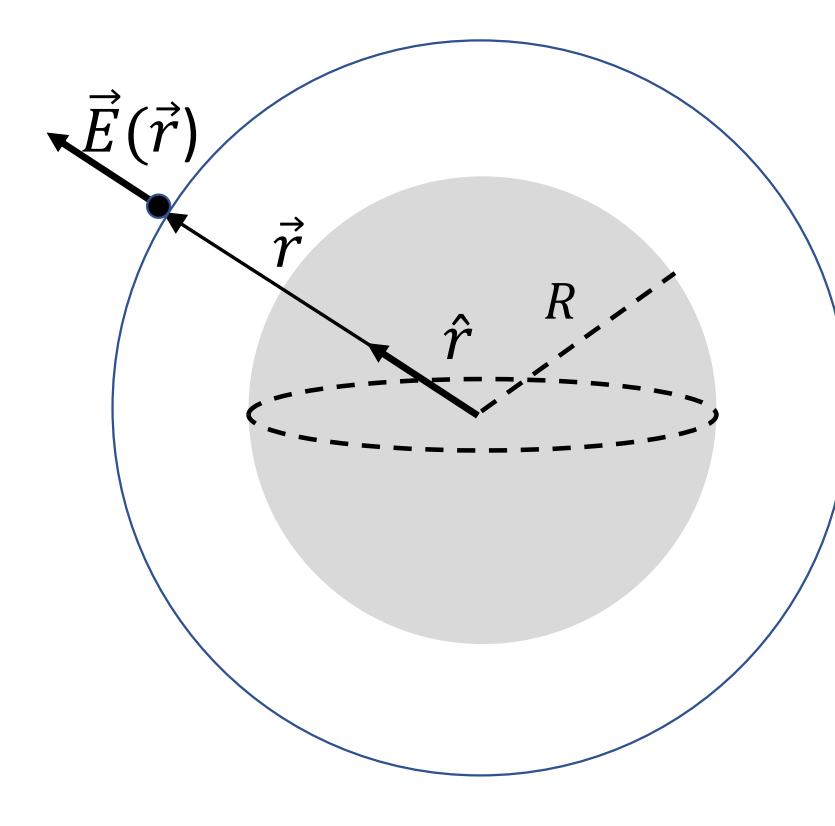


- Si colocamos nuestro SC en el centro de la esfera, el sistema tiene simetría esférica (rotar la carga alrededor del origen no cambia nada).
- El campo en un punto cualquiera  $\vec{r}$  debe ser radial y depender sólo de la distancia  $r = |\vec{r}|$ .

$$\vec{E}(\vec{r}) = E(r) \hat{r}$$



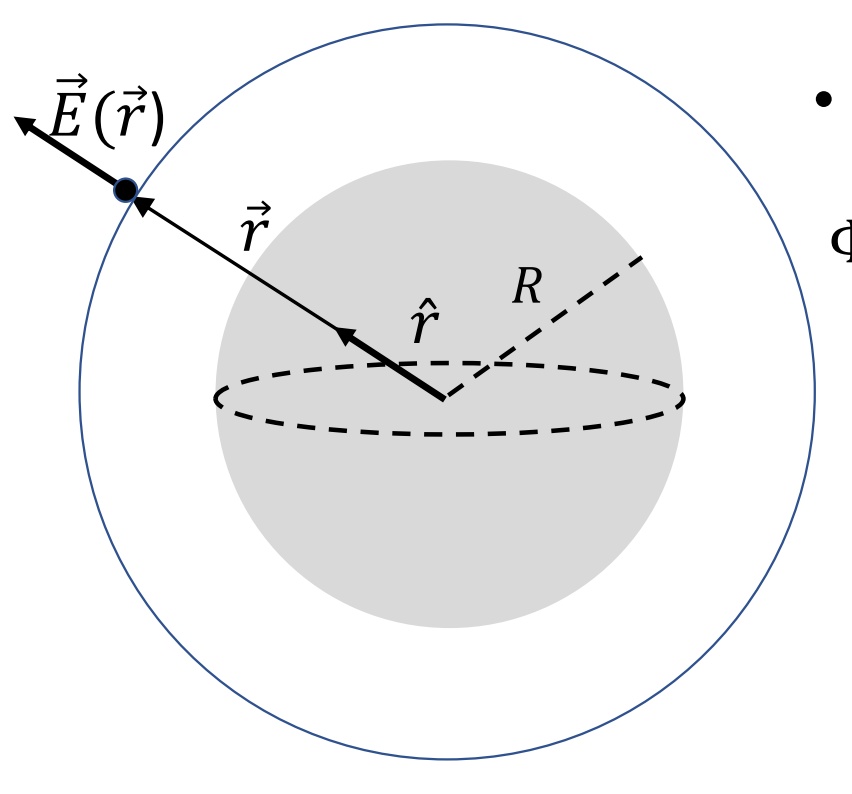
• Sobre cualquier esfera de radio r centrada en el origen el módulo de E vale siempre lo mismo.



• Sobre cualquier esfera de radio r centrada en el origen el módulo de E vale siempre lo mismo.

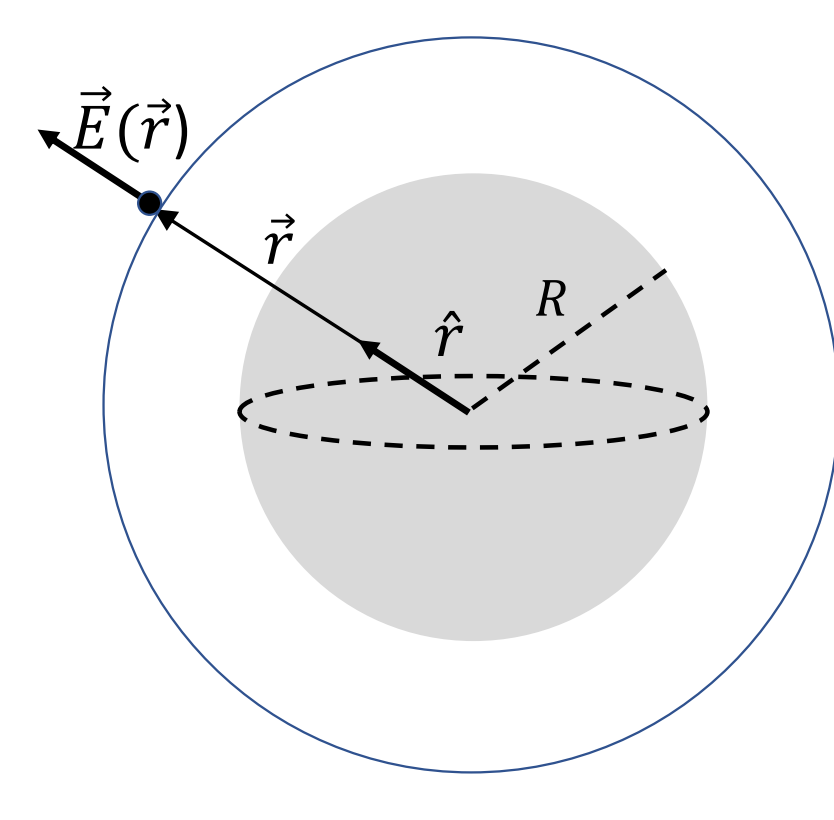
• Si r > R el flujo es:

$$\Phi = \int_{S(r)} \vec{E} \cdot \vec{ds} = E(r) \int_{S(r)} \hat{r} \cdot \hat{r} \, ds = 4\pi r^2 E(r)$$



• Por la Ley de Gauss

$$\Phi = 4\pi r^2 E(r) = \frac{carga\ encerrada\ por\ S(r)}{\epsilon_0}$$

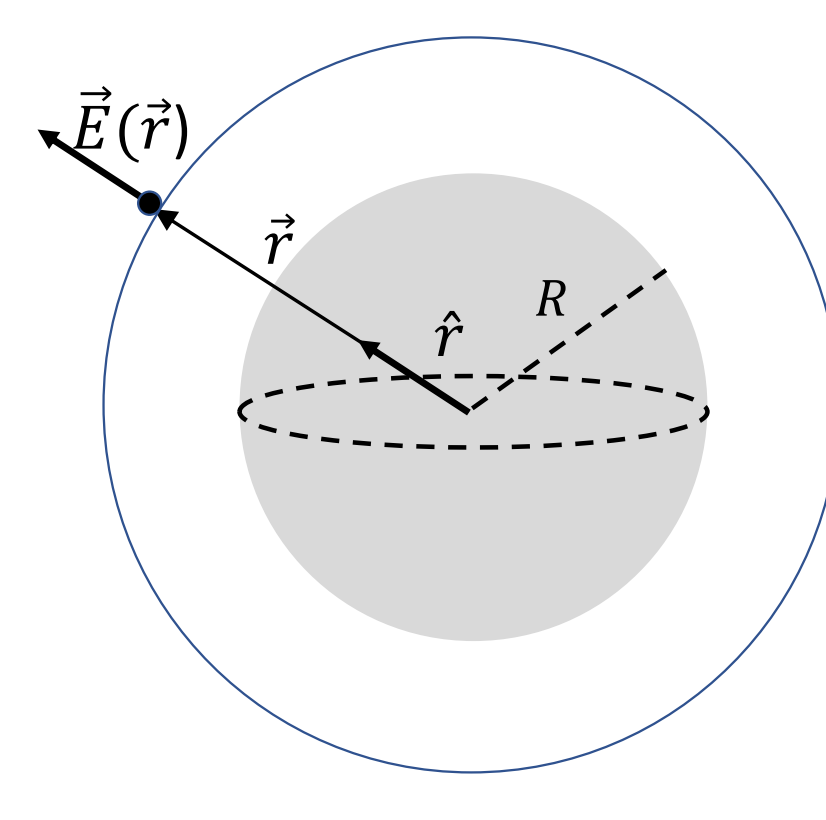


Por la Ley de Gauss

$$\Phi = 4\pi r^2 E(r) = \frac{carga\ encerrada\ por\ S(r)}{\epsilon_0}$$

• Como la densidad es uniforme:

$$4\pi r^2 E(r) = \frac{1}{\epsilon_0} \rho \frac{4}{3} \pi R^3$$

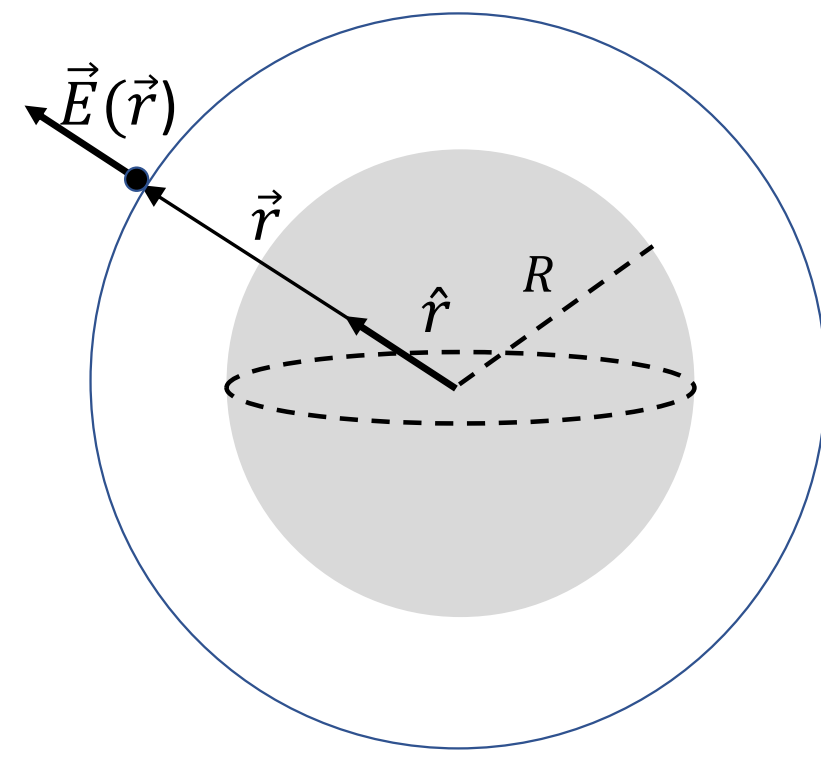


Por la Ley de Gauss

$$\Phi = 4\pi r^2 E(r) = \frac{carga\ encerrada\ por\ S(r)}{\epsilon_0}$$

• Como la densidad es uniforme:

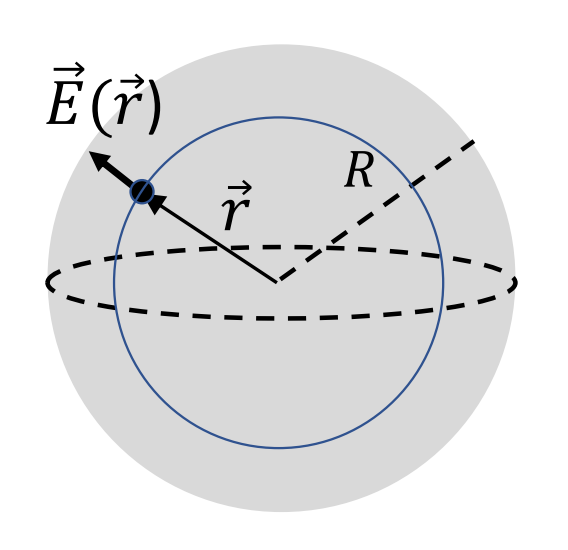
$$4\pi r^2 E(r) = \frac{1}{\epsilon_0} \rho \frac{4}{3} \pi R^3 = \frac{Carga\ total}{\epsilon_0}$$



• Entonces, para r > R  $E(r) = \frac{1}{4\pi\epsilon_0} \frac{Carga\ total}{r^2}$ 

$$\vec{E}(\vec{r}) = \frac{1}{4\pi\epsilon_0} \frac{Carga\ total}{r^2} \hat{r}$$

Es como si toda la carga estuviese en el origen

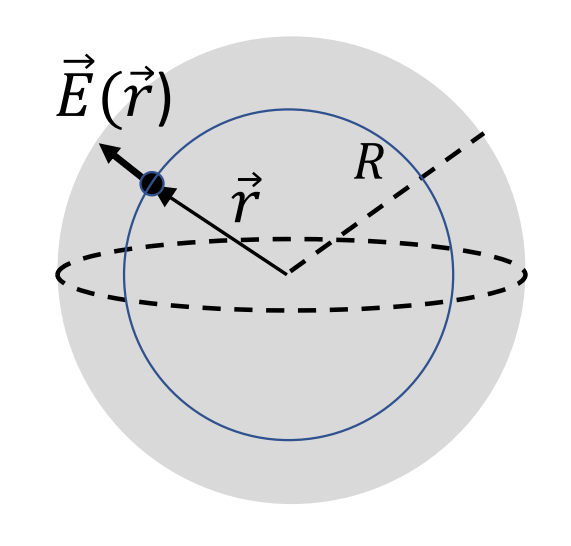


- Para r > R aplicamos un razonamiento similar.
- Por ley de Gauss:

$$4\pi r^2 E(r) = \frac{carga\ encerrada\ por\ S(r)}{\epsilon_0}$$

• Esta vez, la carga encerrada es menor a la total y queda:

$$4\pi r^2 E(r) = \frac{1}{\epsilon_0} \rho \frac{4}{3} \pi r^3$$



• Para r > R entonces:

$$E(r) = \frac{1}{3\epsilon_0} \rho r$$

• Lo cual nos dice que: 
$$\vec{E}(\vec{r}) = \frac{1}{3\epsilon_0} \rho r \hat{r}$$

Crece linealmente con la distancia

#### Pregunta

- ¿Cuánto vale  $\vec{E}(R)$ ?
- Graficar E(r) vs r

#### El potencial lejos de una distribución

 Volvamos al caso de un disco uniformemente cargado. El potencial a lo largo del eje de simetría daba:

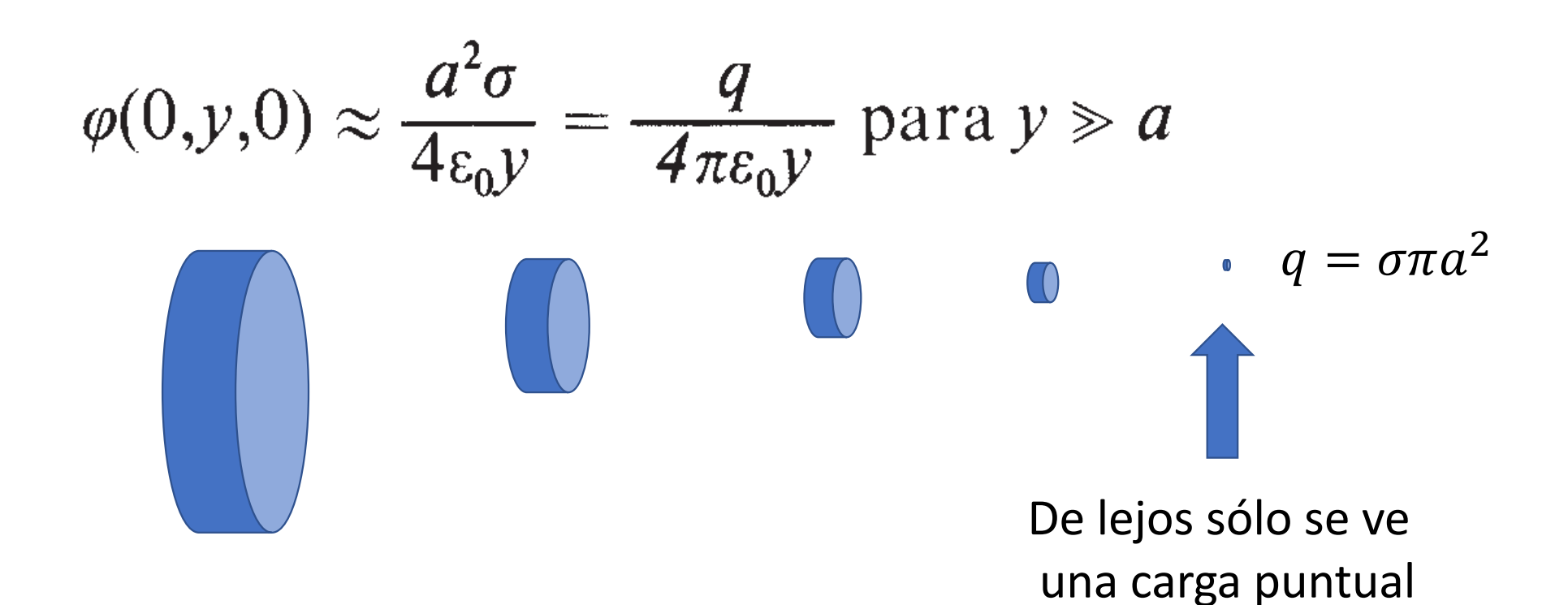
$$\varphi(y) = \frac{\sigma}{2\epsilon_0} \left[ \sqrt{y^2 + a^2} - |y| \right]$$

• Nos interesa saber a qué se parece el potencial a distancias grandes. Para |y| >> a podemos aproximar por serie de Taylor el término:

$$\sqrt{y^2 + a^2} - y = y \left[ \sqrt{1 + \frac{a^2}{y^2}} - 1 \right]$$
$$= y \left[ 1 + \frac{1}{2} \left( \frac{a^2}{y^2} \right) \cdots - 1 \right] \approx \frac{a^2}{2y}$$

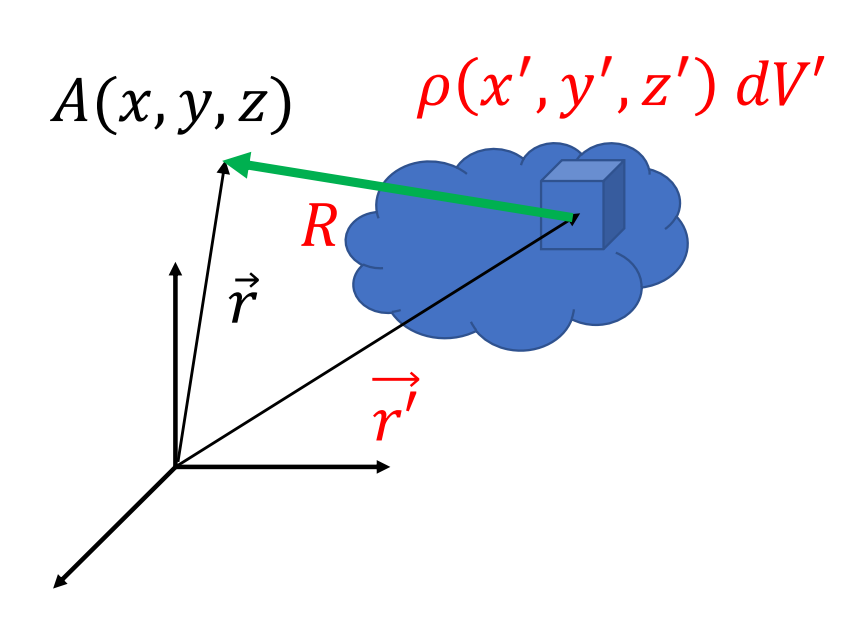
#### El potencial lejos de una distribución

• Reemplazando la aproximación, tenemos



• Un átomo o molecula consta de cargas en disposiciones complejas en volúmenes del orden de 10<sup>-24</sup> cm.

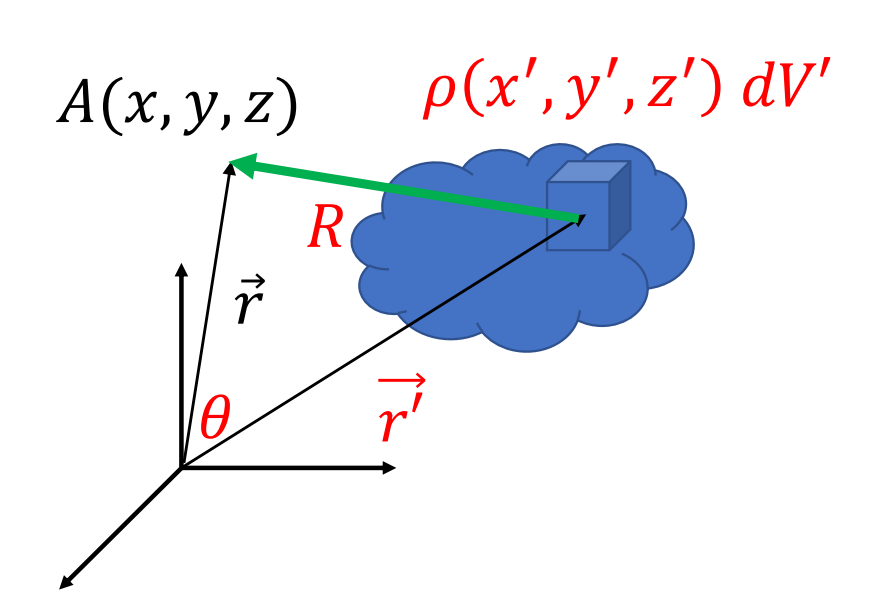
• ¿Qué aspectos de la estructura de la carga son los más importantes cuando vemos el potencial/campo a grandes distancias de las distribuciones de carga?



• Supongamos una distribución de cargas acotada  $\rho$  (x', y', z') un punto A exterior a  $\rho$ .

$$\varphi(x, y, z) = \frac{1}{4\pi\epsilon_0} \int \frac{\rho(x', y', z')dV'}{R}$$

- En negro, lo que no se integra
- En rojo, lo que sí se integra



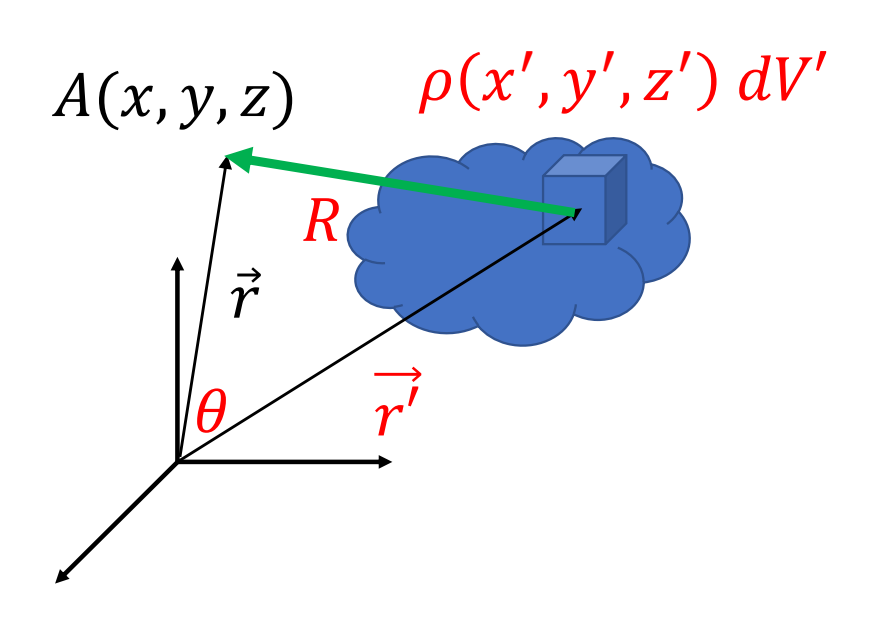
- En negro, lo que no se integra
- En rojo, lo que sí se integra

• Supongamos una distribución de cargas acotada  $\rho$  (x', y', z') un punto A exterior a  $\rho$ .

$$\varphi_A(x, y, z) = \frac{1}{4\pi\epsilon_0} \int \frac{\rho(x', y', z')dV'}{R}$$

 Expresamos R en función de las distancias r y r' desde el origen del sistema de coordenadas. Por el teorema del coseno

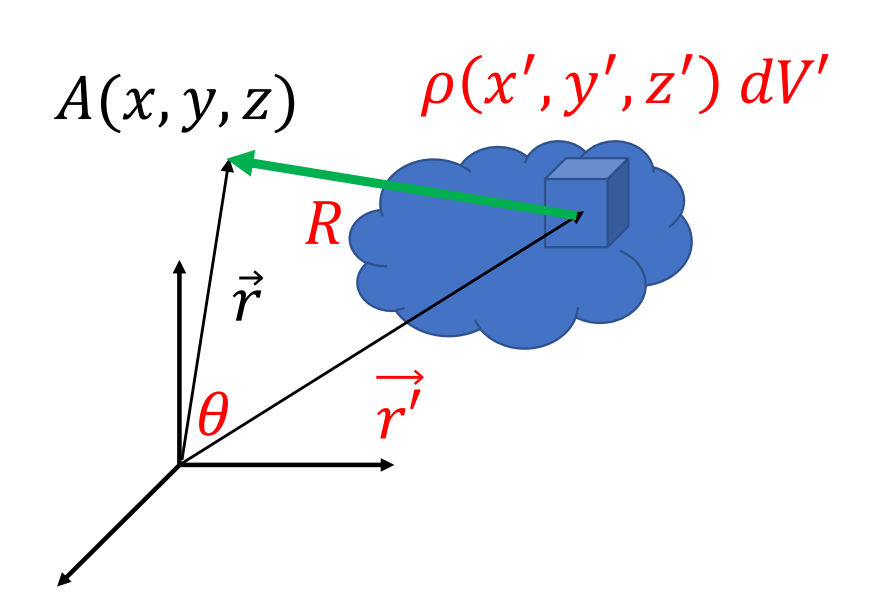
$$R = [r^2 + r'^2 - 2rr' \cos \theta]^{1/2}$$



La idea es ver qué pasa cuando r >> r'.
 Veamos un poco el factor 1/R:

$$[r^2 + r'^2 - 2rr'\cos\theta]^{-1/2} = \frac{1}{r} \left[ 1 + \left( \frac{r'^2}{r^2} - \frac{2r'}{r}\cos\theta \right) \right]^{-1/2}$$

- En negro, lo que no se integra
- En rojo, lo que sí se integra



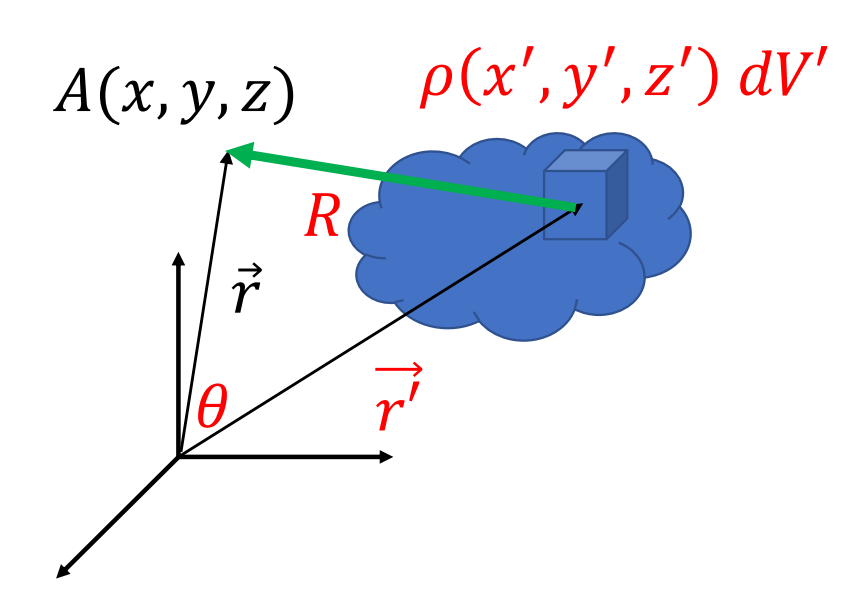
- En negro, lo que no se integra
- En rojo, lo que sí se integra

La idea es ver qué pasa cuando r >> r'.
 Veamos un poco el factor 1/R:

$$[r^2 + r'^2 - 2rr'\cos\theta]^{-1/2} = \frac{1}{r} \left[ 1 + \left( \frac{r'^2}{r^2} - \frac{2r'}{r}\cos\theta \right) \right]^{-1/2}$$

 Podemos hacer el desarrollo en Taylor de 1/R para r'/r << 1. Tomando el desarrollo</li>

$$(1+\delta)^{-1/2}=1-\tfrac{1}{2}\delta+\tfrac{3}{8}\delta^2\ \dots$$
 para  $\delta\ll 1$ 



- En negro, lo que no se integra
- En rojo, lo que sí se integra

• Tomando esta expansión el factor 1/R queda:

$$= \frac{1}{r} \left[ 1 + \frac{r'}{r} \cos \theta + \left( \frac{r'}{r} \right)^2 (3 \cos^2 \theta - 1) + \left( \frac{\text{términos de}}{\text{grado superior}} \right) \right]$$

más grande >>>>> más chico

• Entonces, reemplazando en  $\varphi_A(x,y,z)$ 

$$\varphi_{A} = \frac{1}{4\pi\varepsilon_{0}} \frac{1}{r} \underbrace{\int \rho \, dv'}_{K_{0}} + \frac{1}{4\pi\varepsilon_{0}} \frac{1}{r^{2}} \underbrace{\int r' \cos \theta \, \rho \, dv'}_{K_{1}} + \frac{1}{4\pi\varepsilon_{0}} \frac{1}{r^{3}} \underbrace{\int r'^{2} (3 \cos^{2} \theta - 1) \rho \, dv'}_{K_{2}} + \cdots$$

• Entonces  $\varphi_A(x,y,z)$  lejos de la distribución puede escribirse como una serie de términos de importancia decreciente (fijarse el exponente de 1/r)

$$\varphi_{A} = \frac{1}{4\pi\varepsilon_{0}} \frac{1}{r} \underbrace{\int \rho \, dv'}_{K_{0}} + \frac{1}{4\pi\varepsilon_{0}} \frac{1}{r^{2}} \underbrace{\int r' \cos \theta \, \rho \, dv'}_{K_{1}} + \frac{1}{4\pi\varepsilon_{0}} \frac{1}{r^{3}} \underbrace{\int r'^{2} (3 \cos^{2} \theta - 1)\rho \, dv'}_{K_{2}} + \cdots$$

 La clave es calcular los coeficientes K<sub>0</sub>, K<sub>1</sub>, K<sub>2</sub>, etc. Cada término se denomina momento.

• Entonces  $\varphi_A(x,y,z)$  lejos de la distribueion puedo scribirse como una serie de términos de importancia decreciente (fijar e el exponente de 1/r)

$$\varphi_{A} = \frac{1}{4\pi\epsilon_{0}} \frac{1}{r} \int \rho \, dv' + \frac{1}{4\pi\epsilon_{0}} \frac{1}{r^{3}} \int r'^{2} (3\cos^{2}\theta - 1)\rho \, dv' + \cdots$$

$$K_{2}$$

$$K_{2}$$

• La clave es calcular los coeficientes K<sub>0</sub>, K<sub>1</sub>, K<sub>2</sub>, etc. Cada término se denomina momento.

- ¿Hace falta calcular todos los K<sub>i</sub>?
- No! El comportamiento del potencial a grandes distancias de la fuente estará determinado por el **primer término no nulo** de la serie:

$$\varphi_A = \frac{1}{4\pi\varepsilon_0} \left[ \frac{K_0}{r} + \frac{K_1}{r^2} + \frac{K_2}{r^3} + \cdots \right]$$

#### Los coeficientes K<sub>0</sub> y K<sub>1</sub>

- $K_0 = \int \rho \ dv'$  es simplemente la carga total de la distribución (da cero para moléculas y átomos neutros)
- ¿Cuánto vale K<sub>0</sub> para en cada una de estas distribuciones ?

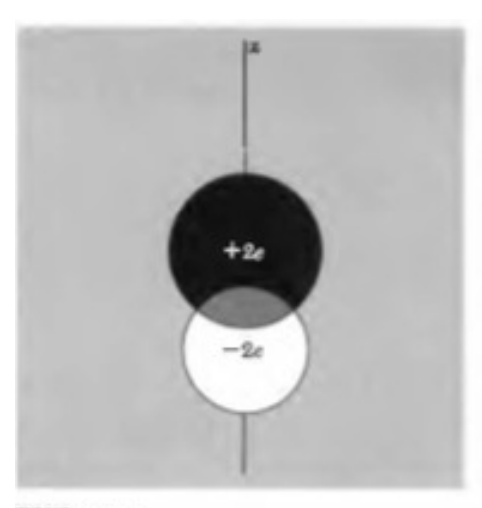
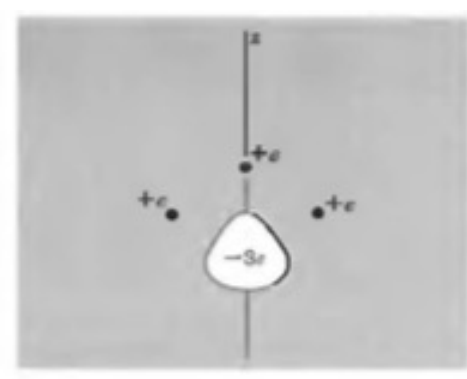
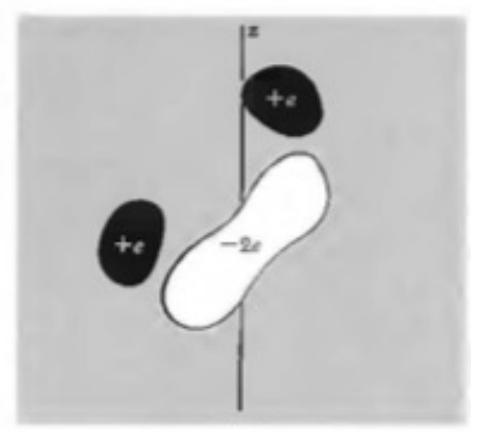


FIGURE 10.4 Some charge distributions with  $K_0 = 0$ ,  $K_1 \neq 0$ . That is, each has net charge zero, but nonzero dipole moment.





#### Los coeficientes K<sub>0</sub> y K<sub>1</sub>

• Si  $K_0=0$ , calcularemos  $K_1=\int r'\cos\theta\;\rho\;dv'$ 

• Para simplificar esta expresión consideremos el vector

$$\vec{p} = \int \vec{r'} \rho(x', y', z') dv'$$
 Momento dipolar

• Usando  $\vec{p}$ , tenemos:  $\hat{r} \cdot \vec{p} = \hat{r} \cdot \int \overrightarrow{r'} \rho(x', y', z') dv' = \int \hat{r} \cdot \overrightarrow{r'} \rho(x', y', z') dv' = \int r' \cos \theta \rho(x', y', z') dv' = K_1$ 

• Por lo tanto: 
$$K_1 = \hat{r} \cdot \vec{p}$$

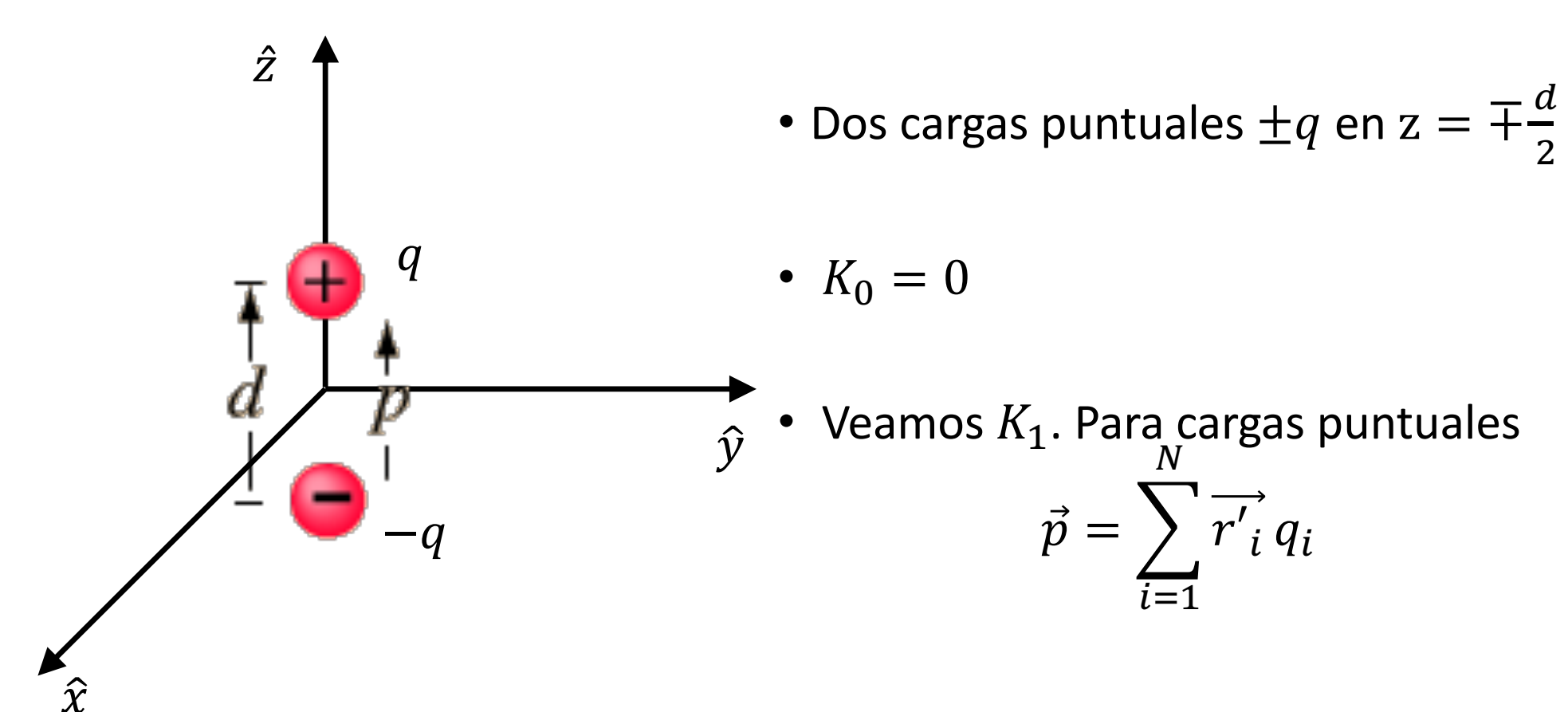
#### Los coeficientes K<sub>0</sub> y K<sub>1</sub>

• Resumiendo, para un punto A en dirección  $\hat{r}$  y a una distancia r de una distribución acotada  $\rho(x',y',z')$ , el potencial viene dado por:

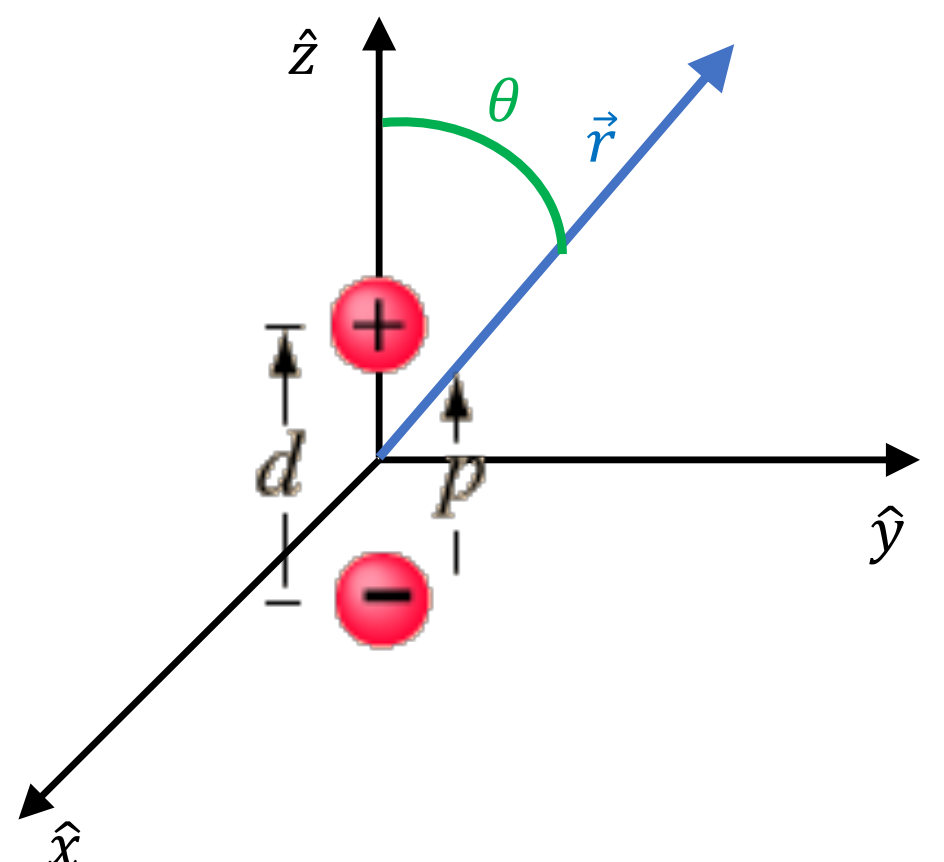
$$\varphi_A = \frac{Q}{r} + \frac{\hat{r} \cdot \vec{p}}{r^2} + \frac{K_2}{r^3} + \cdots$$

• Donde  $Q=K_0=\int \rho\; dv'$  y  $\vec{p}=\int \overrightarrow{r'}\, \rho(x',y',z')dv'$ 

#### Ejemplo: Potencial lejano de un dipolo



#### Ejemplo: Potencial lejano de un dipolo



 Centro del SC equidistante de las cargas:

$$\vec{p} = \frac{d}{2}q\hat{z} + \left(-\frac{d}{2}\right)(-q)\hat{z} = qd\,\hat{z}$$

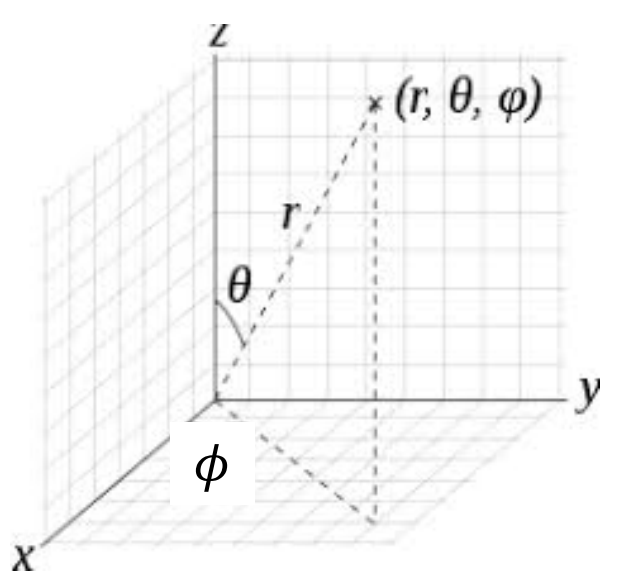
• Por lo tanto

$$K_1 = \hat{r} \cdot \vec{p} = qd \cos \theta$$

• Y entonces, lejos del dipolo

$$\varphi(\vec{r}) = \frac{1}{4\pi\epsilon_0} \frac{K_1}{r^2} = \frac{1}{4\pi\epsilon_0} \frac{qd\cos\theta}{r^2}$$

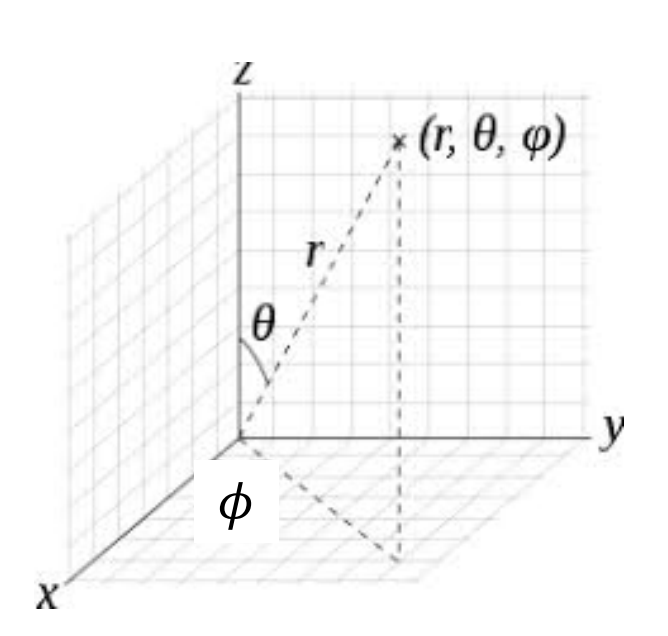
#### Ejemplo: Campo lejano de un dipolo



- Calculemos el campo  $\vec{E}$   $\vec{E} = \vec{\nabla} \varphi$
- Podemos hacer el cálculo del campo en esféricas.
- El gradiente en esféricas es:

$$\vec{\nabla}\varphi = \frac{\partial\varphi}{\partial r}\hat{r} + \frac{1}{r\sin\theta}\frac{\partial\varphi}{\partial\phi}\hat{\phi} + \frac{1}{r}\frac{\partial\varphi}{\partial\theta}\hat{\theta}$$

#### Ejemplo: Campo lejano de un dipolo



• Usando

$$\varphi(\vec{r}) = \frac{1}{4\pi\epsilon_0} \frac{K_1}{r^2} = \frac{1}{4\pi\epsilon_0} \frac{p\cos\theta}{r^2}$$

• El campo en esféricas es:

$$\vec{E} = \frac{2}{4\pi\epsilon_0} \frac{p\cos\theta}{r^3} \hat{r} + \frac{1}{4\pi\epsilon_0} \frac{p\sin\theta}{r^3} \hat{\theta}$$

• Poloidal, decae como  $r^{-3}$ 

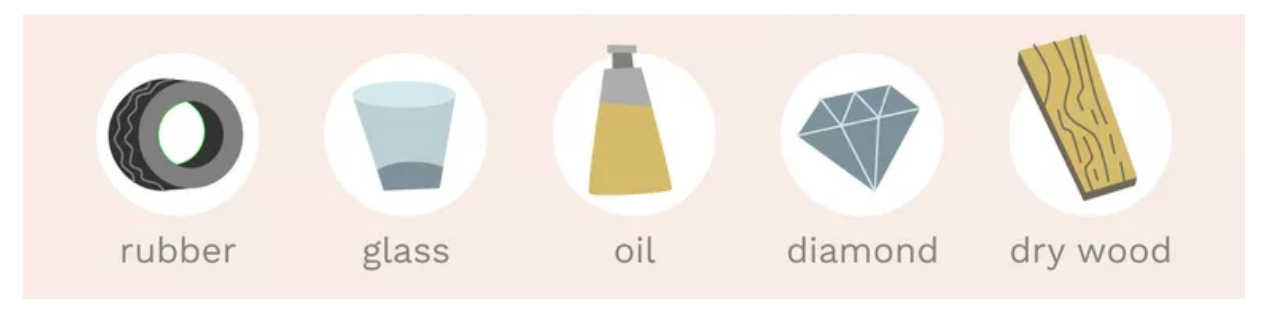
## Conductores y Dieléctricos

#### Tipos de materiales eléctricos

• Conductores: Alta movilidad de portadores de carga (electrones y protones). Las cargas sobre ellos se pueden mover libremente.



Aislantes: baja movilidad de portadores de carga.
 Las cargas no se mueven a través de ellos

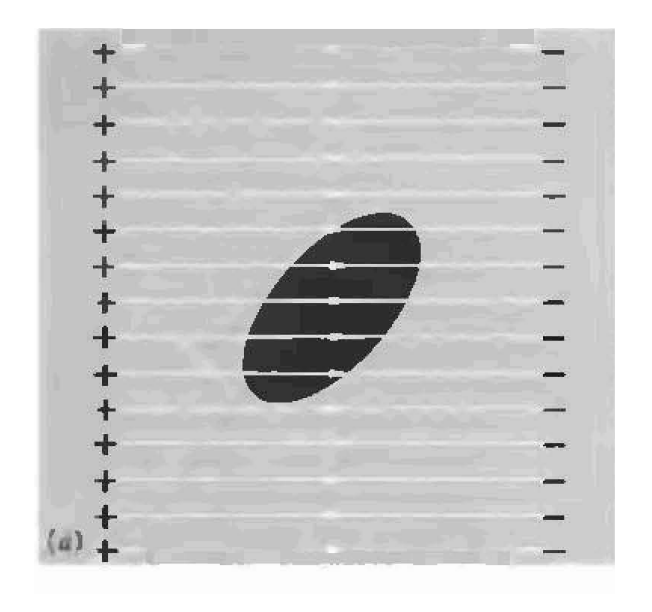


#### Conductores en electrostática

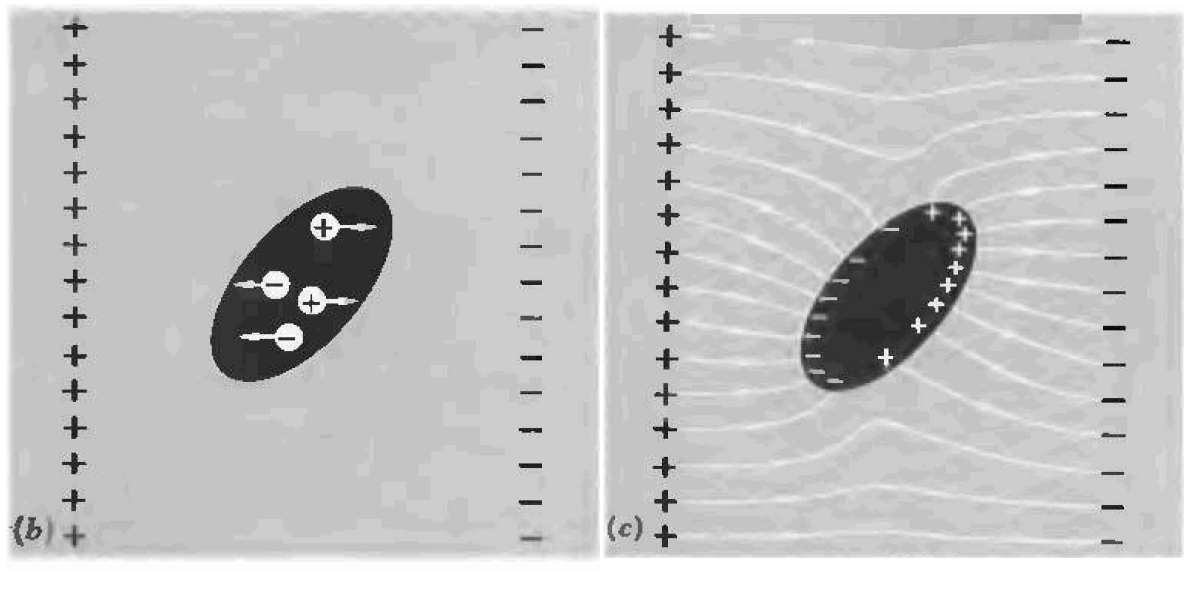
- Las cargas pueden reacomodarse libremente en un conductor.
- Este reacomodamiento se realiza de acuerdo a ciertas reglas.
- En electrostática, vamos a considerar las propiedades de los conductores una vez que se haya alcanzado el estado estacionario (es decir, cuando las cargas ya se hayan acomodado).

#### Aislantes y conductores en campo externo

Aislante: el campo en el interior es prácticamente el del exterior



Conductor: las cargas se van a la superficie y dejan campo nulo en el interior

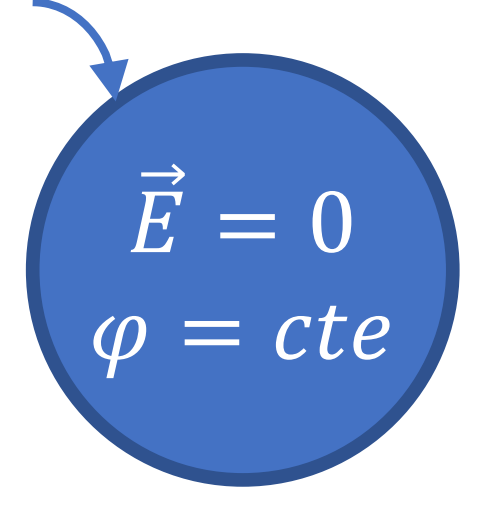


Transitorio

Estacionario

#### Propiedades de los conductores

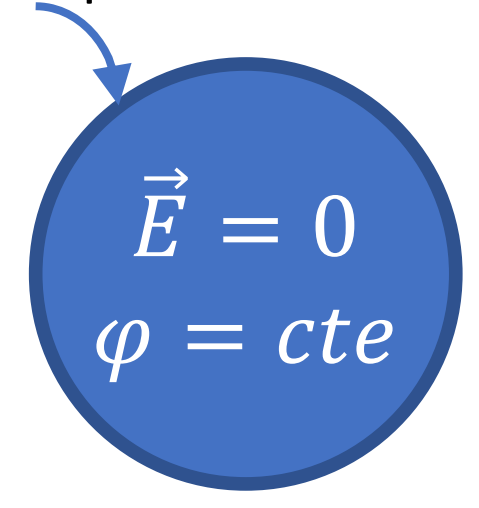
Cargas en la superficie



- La idea de que todas las cargas van hacia la superficie y que en el interior el campo es nulo es la correcta si se tiene en cuenta que no existe otro tipo fuerza que mueva las cargas.
- Las cargas se mueven hasta llegar al borde del conductor del que no pueden salir

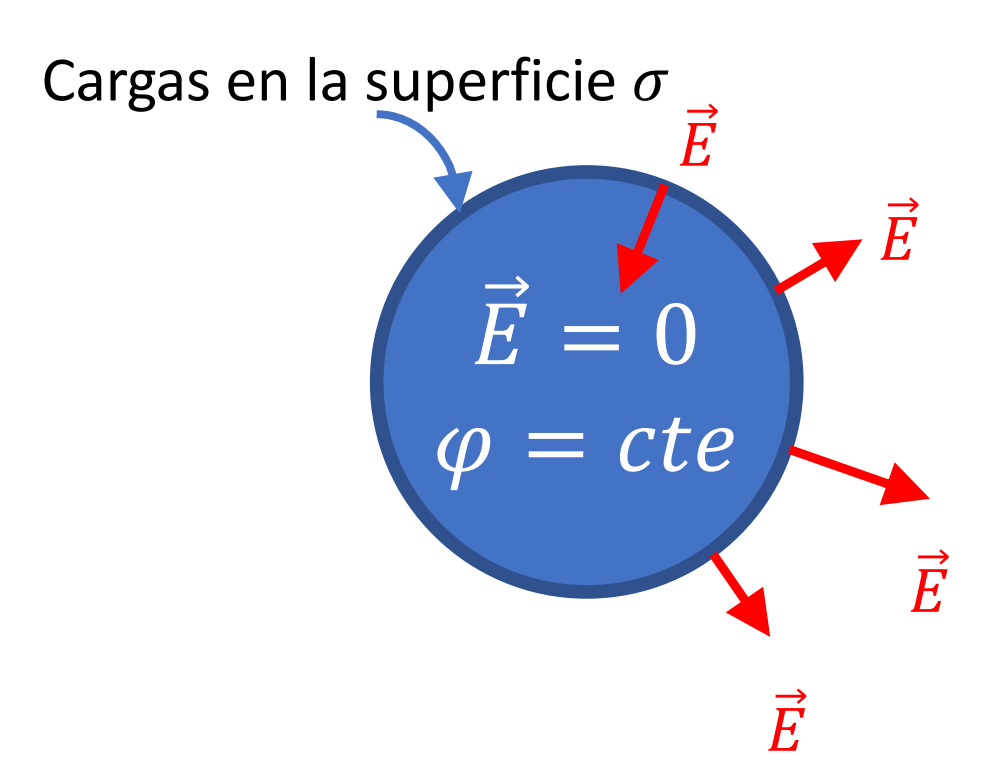
#### Propiedades de los conductores

Cargas en la superficie  $\sigma$ 



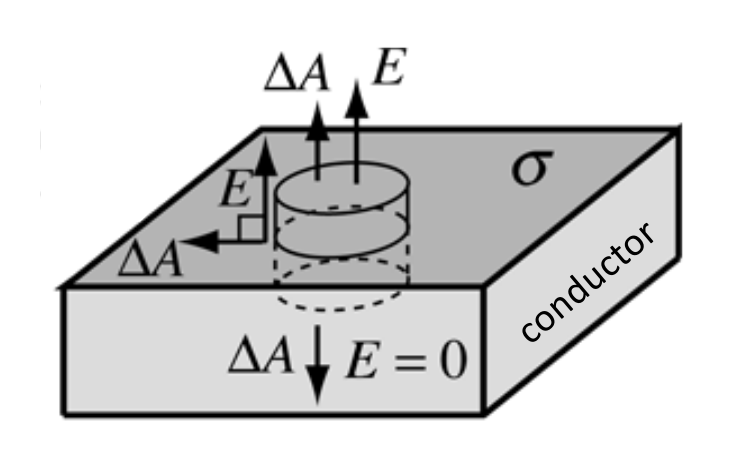
• Si el campo eléctrico es nulo en el interior del conductor, el potencial ahí es constante al igual que en su superficie.

#### Propiedades de los conductores



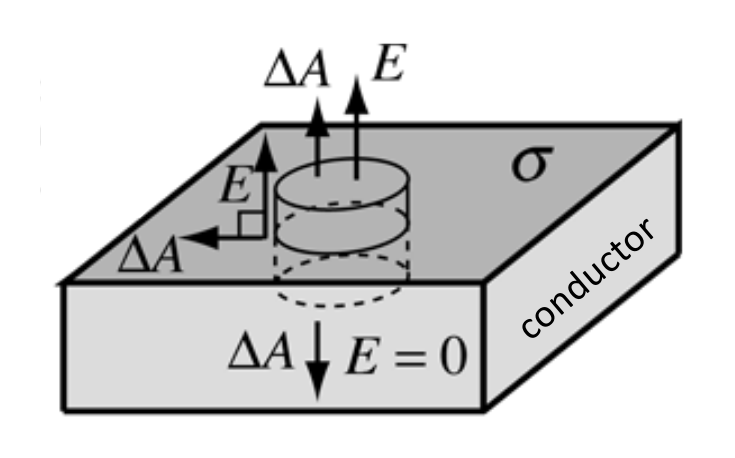
- Si el campo eléctrico es nulo en el interior del conductor, el potencial ahí es constante al igual que en su superficie.
- Como la superficie es equipotencial, el campo en esa superficie sólo puede ser normal a ella.

## Discontinuidad de $\vec{E}$ en la superficie



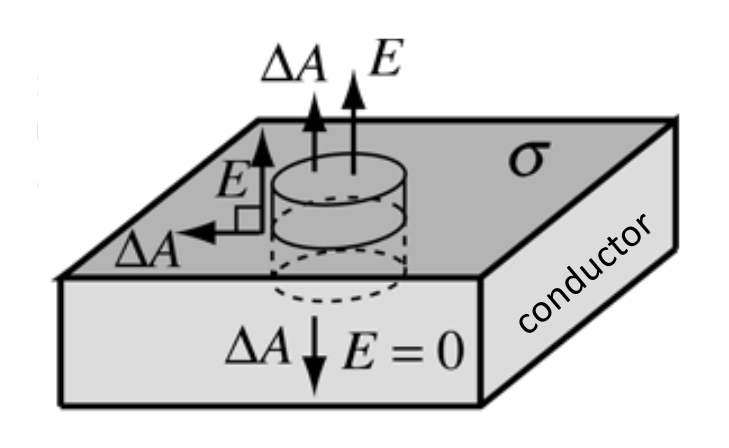
 El salto de un campo eléctrico nulo en el interior de un conductor a uno no nulo y normal en su superficie se debe a la presencia de la carga acumulada ahí.

### Discontinuidad de $\vec{E}$ en la superficie



- El salto de un campo eléctrico nulo en el interior de un conductor a uno no nulo y normal en su superficie se debe a la presencia de la carga acumulada ahí.
- Apliquemos la Ley de Gauss en un cilindro alineado con la normal a la superficie de un conductor donde hay una carga superficial de densidad  $\sigma$  (C/m²)

## Discontinuidad de $\vec{E}$ en la superficie



• El único flujo que sobrevive es el que se da a través de la tapa externa de área  $\Delta A$ 

$$\int \vec{E} \cdot \overrightarrow{ds} = \frac{carga\ encerrada}{\epsilon_0}$$
 cilindro

$$E \Delta A = \frac{\sigma \Delta A}{\epsilon_0}$$

$$E = \frac{\sigma}{\epsilon_0}$$